

2.3%)。Neimeng-65 型也在东北部有发现。弄清东方立克次体在印度的遗传多样性增强了对流行株之间区域多样性的了解,还可以为未来区域特异性诊断研究和疫苗开发提供依据。

P76 德国汉坦病毒相关流行性肾病的临床病程和长期预后研究//Joerg Latus, Matthias Schwab, Evelina Tacconelli, 等

人类感染的普马拉病毒(PUUV)为中欧最为常见汉坦病毒,主要引起流行性肾病(NE),其主要表现为急性肾损伤和血小板减少。为了确定汉坦病毒感染患者的临床表现、长期预后和对 PUUV 的体液免疫反应,在 2001—2012 年期间,我们对 456 名德国病人进行了一项横断面的前瞻性调查,所有患者均为临床和血清学方法确诊的汉坦病毒相关 NE。NE 急性期突出的临床表现为发热和背部/肢体疼痛,88% 患者有急性肾损伤。在随访期间(7~35 月),全部病人都可以检测出汉坦病毒特异性 IgG 阳性;8.5% 病人有持续性的 IgM;25% 病人有血尿;23% 病人有高血压(新诊断的 67%);和 7% 病人有蛋白尿。NE 相关的高血压和血尿并不会出现长期症状,但是 NE 相关的血尿却可能会。本研究中所有病人在感染病毒后,特异性 IgG 会持续存在多年。

P84 尿液中 Zika 病毒检测//Ann-Claire Gourinat, Olivia O'Connor, Elodie Calvez, 等

我们描述了 6 名病人血清和尿液中 Zika 病毒检测的动力学。发病 10 d 后,尿液标本中 Zika 病毒仍然呈现阳性,比血清标本中保持更久。该发现支持可利用尿液标本诊断 Zika 病毒感染。

P87 临床样品中禽流感(H7N9)病毒的快速诊断方法// Yu Chen, Dayan Wang, Shufa Zheng, 等

为了确定快速诊断检测流感病毒 A(H7N9)的灵敏度,我们通过检测不同类型的临床样本,将快速检测方法与 PCR 检测方法进行对比。季节性流感快速检测病毒感染的作用是有限的,这是由快速检测方法对于上呼吸道标本中病毒的低敏感性所致。

P103 免疫球蛋白 E 综合征肺移植患者呼吸道上皮细胞中的 WU 多瘤病毒//Erica A. Siebrasse, Diana V. Pastrana, Nang L. Nguyen, 等

通过对上皮细胞标志物进行特异性的 WU 多瘤病毒蛋白 1 共同免疫染色,我们从患有免疫球蛋白 E 综合征肺移植患者的支气管肺泡灌洗标本中检测到 WU 多瘤病毒,该标志物能鉴定呼吸道上皮

细胞中大部分多瘤病毒蛋白 1 阳性细胞。(图 1)

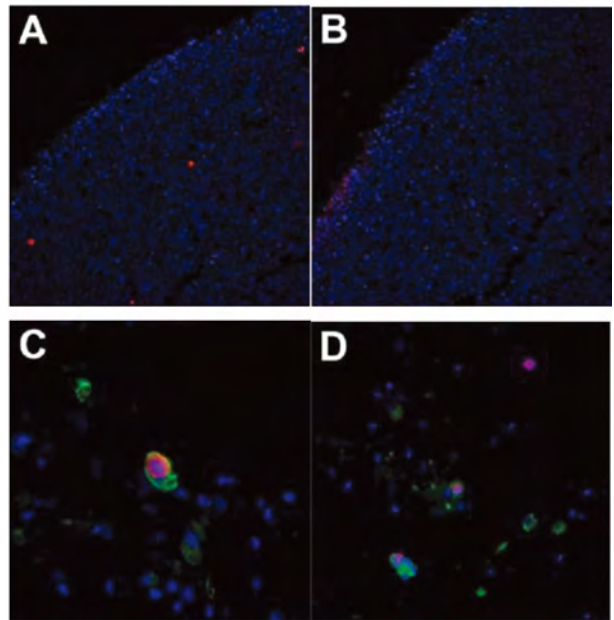


图 1 患有免疫球蛋白 E 综合征的肺移植患者(28 岁女性)呼吸道上皮细胞中 WU 多瘤病毒抗原。293T 细胞转染 pDEST26-WU 病毒蛋白 1 的免疫荧光染色,分别用 A) WU 病毒蛋白 1 多克隆抗体(NN-Ab01)或者 B) 免疫前血清染色。C) 双荧光免疫染色 NN-Ab01(红色)和抗角蛋白单克隆抗体(绿色)表现出支气管肺泡灌洗样本中双阳性细胞。D) 支气管肺泡灌洗样本中多种 WU 病毒蛋白 1/角蛋白双阳性细胞。原始放大倍数板 A 和 B×100,板 C×600,板 D×400。

P119 2007—2012 美国非巴氏消毒牛奶相关的暴发增加//Elisabeth A. Mungai, Casey Barton Behravesh, L. Hannah Gould, 等

美国因非巴氏杀菌牛奶造成的暴发由 2007—2009 年的 30 例增加至 2010—2012 年的 51 例。大部分的爆发病例都是由空肠弯曲菌引起(77%),多数非巴氏杀菌的牛奶均购自那些销售非巴氏消毒牛奶为合法的州(81%)。那些阻止非巴氏杀菌牛奶分销的法律应该被强制执行。

P123 印度肠道病毒 A71 基因多样性研究//Vinay K. Saxena, Sudhir Sane, Sushma S. Nadkarni, 等

我们确定了 3 种基因群(genogroup)肠道病毒(EV)A71 在印度的流行。本研究发现了一种新的基因群(拟命名为 G)。我们在大部分地区都分离到了基因群 D 和基因群 G,但是仅仅在印度西部一个区域检测到 C1 亚群病毒。现在很有必要系统地在全国开展对 EV-A71 的监测。

(福建省疾病预防控制中心 赵琳译,张拥军校)